

Probleme der Dynamik und stochastischen Theorie dissipativer Hamiltonscher Systeme

ETH Zürich 2006

Werner Ebeling

mit Jörn Dunkel, Udo Erdmann

Lutz Schimansky-Geier und Sergey Trigger

Humboldt-Universität Berlin

und

A. Chetverikov, V. Makarov, M. Velarde

Uni Complutense Madrid



Gliederung

- Grundlagen der Dynamik und Stochastik
- Beispiele aus Physik, Biologie
- Modelle dissipativer Bewegungen
- Aktive Bew in Potmulden-exakte Lösungen, Bifurkationsverhalten
- Aktive Bew in komplexen Potentialen
- Schwärme aktiver Teilchen mit WW,
- Geladene aktive Teilchen

Skizze



- Als dissipative Hamiltonsysteme bezeichnet man in der Mechanik Systeme mit dissipativen Kräften.
- Bekannte Anwendungen: Selbsterregte Schwingungen/Wellen, Uhren, Motoren
- Neu: Brownsche Modelle der Schwarm- und Agentendynamik (Buch von FS)
- Hier: Neue Probleme & Lösungen für Modelle diss stochast Bewegung

1. Grundlagen der nichtlinearen dissipativen Mechanik



Von Helmholtz/Rayleigh/Barkhausen/
Van der Pol /Andronov zur Theorie der

Selbst-organisation

Pionierarbeiten



- Helmholtz: "Die Lehre von den Tonempfindungen ..." (1863).
- Rayleigh: "Theory of Sound" (1883, 1894).
- Poincare: Mécanique céleste (1892)
- Barkhausen: Dissertation NL Schwing (1907)
- Van der Pol: Theory of triode vibration (1920)
- Andronov: Cycles limites de Poincaré (1929)
- Andronov/Witt/Chaikin: Th.d.Schwingungen (1939, 1959, 1965, 1966)

Bewegungsgl. von Rayleigh

$$\frac{d}{dt} v = -\gamma(v^2)v - \omega_0^2 x,$$

Statt $\gamma = \gamma_0 = \text{const}$,

Funktion der Geschw. = negative Reibung :

$$\gamma(v^2) = -\gamma_1 + \gamma_2 v^2$$

Rayleigh's model of Brownian particles with energy support -> nonlinear friction



The idea: in the standard theory of linear oscillations

$$\frac{dx}{dt} = v; \quad \frac{dv}{dt} = -\gamma v - \omega_0^2 x^2; \quad \frac{dE}{dt} = -\gamma v^2 \quad (1)$$

If $\gamma > 0$ (positive friction, energy loss) - damped oscillations,
if $\gamma < 0$ (negative friction, energy support) - amplification.

Rayleigh: need $\gamma < 0$ + nonlinearity to control amplitude.

$$\frac{dv}{dt} = \kappa v - \kappa' v^3 - \omega_0^2 x^2; \quad \frac{dE}{dt} = v^2(\kappa - \kappa' v^2) \quad (2)$$

— Sufficient condition for active motion: $\kappa > 0, \kappa' > 0$. —

Verallgemeinerung: kanonisch-diss Systeme

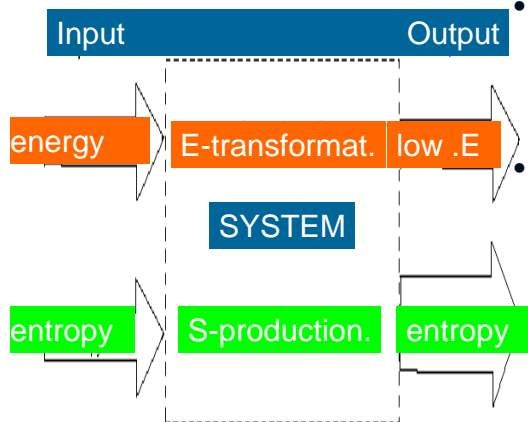


$$\frac{dp_i}{dt} = -\frac{\partial H}{\partial q_i} - g(H) \frac{\partial H}{\partial p_i}$$

The dissipative dynamics of this so-called canonical-dissipative system does not conserve the energy since

$$\frac{dH}{dt} = -g(H) \sum_i \left(\frac{\partial H}{\partial p_i} \right)^2$$

Thermodynamik offener Systeme: Barkhausen (1907), Prigogine (1947)



- import of high-valued energy and export of low-valued energy = conditio sine qua non.
- That means: We need export of entropy, to compensate the unavoidable production of entropy by irreversible processes !!!

Aktive Brownsche Teilchen mit nichtlinearer Reibung



$$\frac{d}{dt} v + \frac{1}{m} \frac{dU}{dr} = -\gamma(v^2)v + \sqrt{2D} \cdot \xi(t),$$

$$\gamma(v^2) = -\gamma_1 + \gamma_2 v^2$$

Fokker-Planck equation:

$$\frac{\partial P(r, v, t)}{\partial t} = \frac{\partial}{\partial v} \left\{ \gamma(r, v) v P(r, v, t) + D \frac{\partial P(r, v, t)}{\partial v} \right\}$$

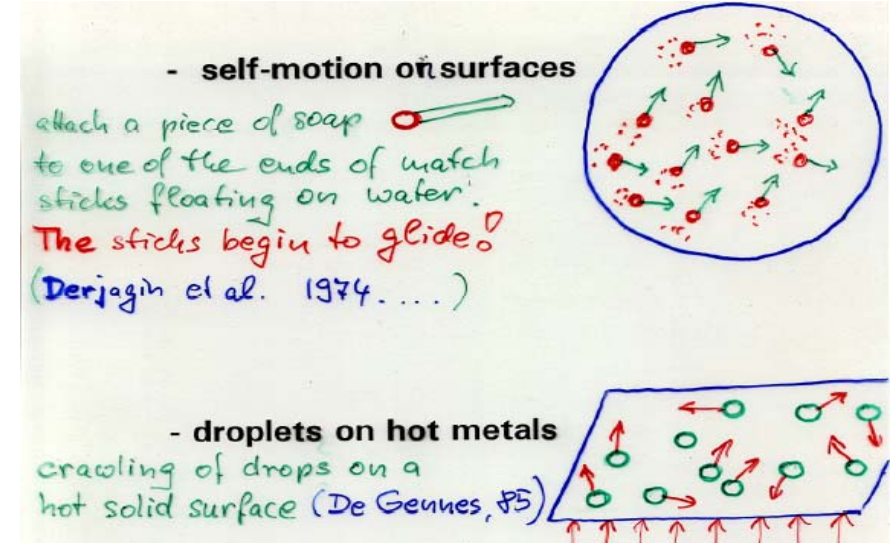
$$-v \frac{\partial P(r, v, t)}{\partial r} - \nabla U(r) \frac{\partial P(r, v, t)}{\partial v}$$

2. Grundlagen der stochastischen Theorie

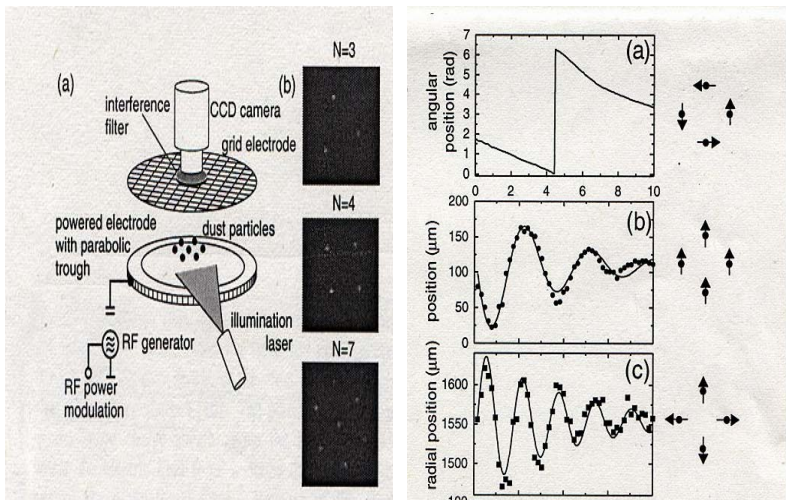


- Stratonovich: entwickelte ~ 1960 die statist Theorie der Rayleigh/van der Pol - Oszillatoren, Fokker-Planck-Gl.
- Klimontovich: Brownsche Teilchen mit aktiver Reibung, Lösungen der Fokker-Planck Gl., Fluktuationen, Korrelationsfunktionen

3. Beispiele dissipativer Dynamik aus Physik und Biologie



2d-Staubplasmen: Melzer, Klingworth, Piel: PRL 2001

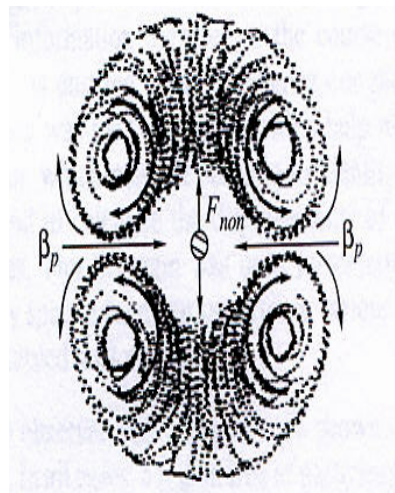
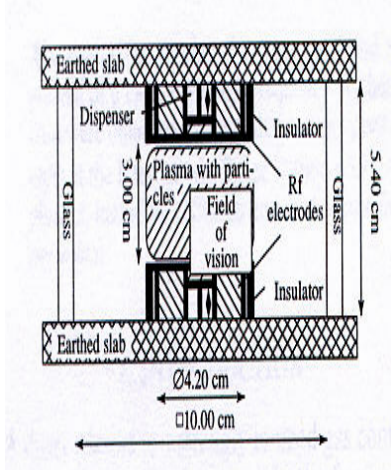


Dynamik biologischer Zellen



- For example granulocytes (white blood cells) can move actively on glass plates (experiments of Gruler, Schienbein et al.)
- Exist many other types of cell motion as taxis (with bias to a direction), as klinokinesis (bias of turning) etc.
- cells can show rotations, change of form and other complex motions
- This is important for their function !!!

ISS: 3d-Staubplasmen Fortov 2002



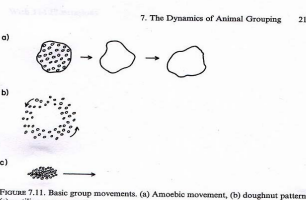
Typische Formen der Bewegung höherer Organismen (nach ökologischen Beobachtungen)



Akira Okubo, with Simon A. Levin

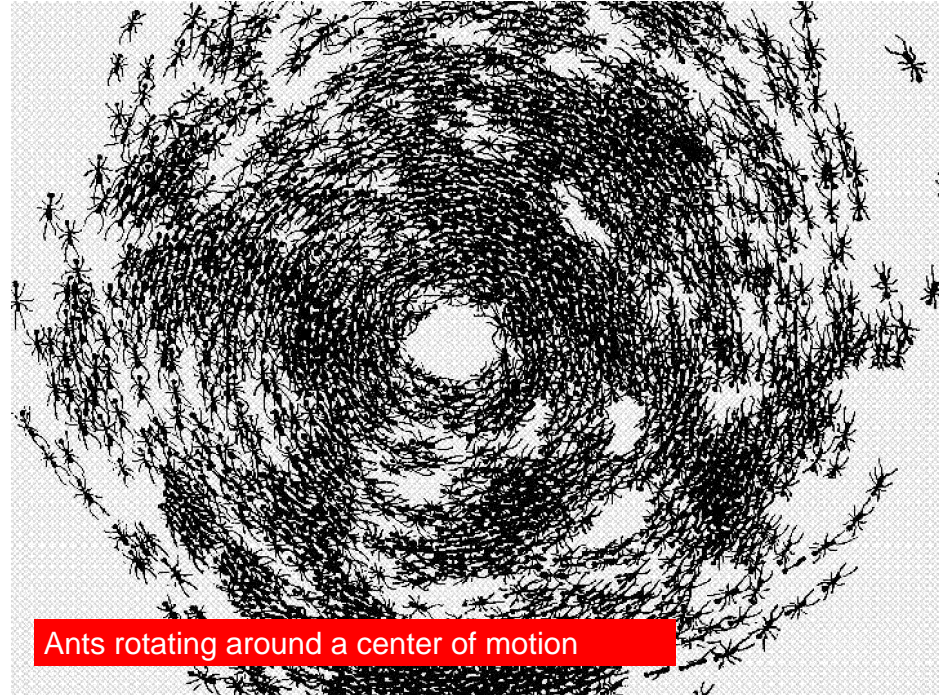
Diffusion and Ecological Problems: Modern Perspectives

Second Edition



Springer

- generalization of many observations shows: Swarms have dynamical modes
- translational modes (rectilinear motion)
- rotational modes (swarm rotation)
- amoeba-mode (change of form)



Ants rotating around a center of motion

Rotationsbewegungen von Fischen



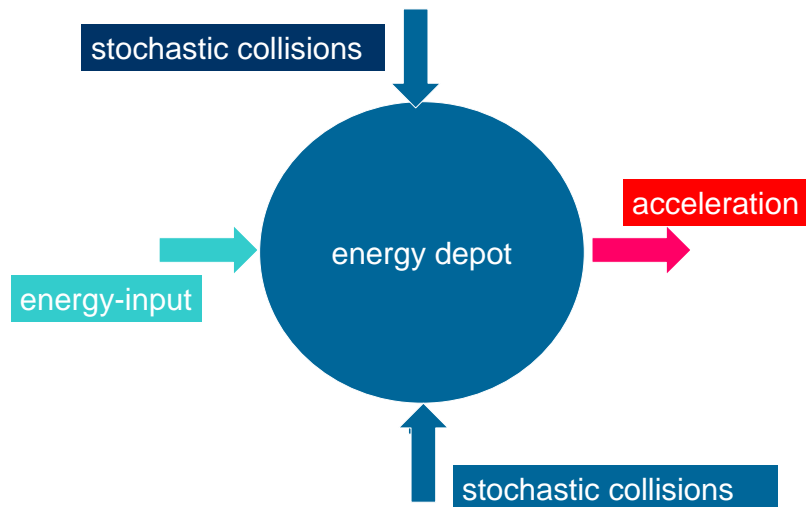
4. Modelle dissipativer Bewegung mit Energiezufuhr

Energie wird aus der Umgebung mit Rate q aufgenommen, im Depot gespeichert und umgesetzt.
Energiebilanz:

$$\frac{d}{dt}e(t) = q(r) - ce(t) - dv^2 e(t),$$

adiabat Näherung: $q(r) = q_0$, $e = \frac{q_0}{c + dv^2}$

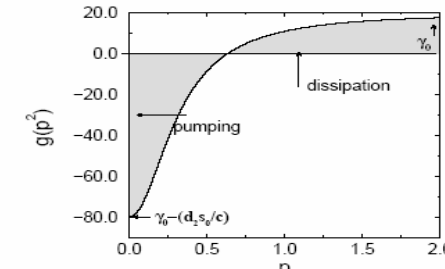
Gespeicherte Energie → Beschleun



Friction: $\gamma = \text{velocity-dependent}$, possibly with a negative part !!! (pumping). Thermal equilibrium: $\gamma(\mathbf{v}) = \gamma_0 = \text{const.}$. General nonequilibrium case (SET-model):

$$\text{Adiabatic appr. } \gamma(\mathbf{v}^2) = \left(\gamma_0 - \frac{dq}{c + dv^2} \right) \quad (4)$$

where $c, d, q = \text{positive constants characterizing the energy flows from a depot to the particle.}$



Bewegungsgleichungen für Brownsche Teilchen mit E-Zufuhr
Annahme eines Motors mit Tank $e(t)$

$$m \frac{d}{dt} v + \frac{dU}{dr} = mde(t)v - m\gamma_0 v + m\sqrt{2D} \cdot \xi(t)$$

Active term
(an engine) passive friction noise

Löse die Fokker-Planck-Gl. für freie Teilchen

Stochastic force (assume that only the passive friction generates noise !!! $D = \gamma_0 kT$):

$$\langle \xi_i(t) \rangle = 0; \langle \xi_i(t) \xi_j(t') \rangle = \delta(t - t') \delta_{ij}$$

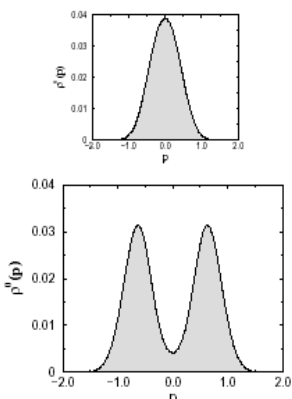
Free particles: $v^2 = \text{conserved quantity}$

Canonical-dissipative: \rightarrow FPE has exact solutions .

$$\frac{\partial f}{\partial t} = \frac{\partial}{\partial \mathbf{v}} \left(\gamma \mathbf{v} f + D \frac{\partial f}{\partial \mathbf{v}} \right)$$

$$f_0 = C \exp \left[-\frac{v^2}{2kT} + \frac{q}{2D} \log \left(1 + \frac{d}{c} v^2 \right) \right]$$

Velocity distribution



Above undercritical, below overcritical

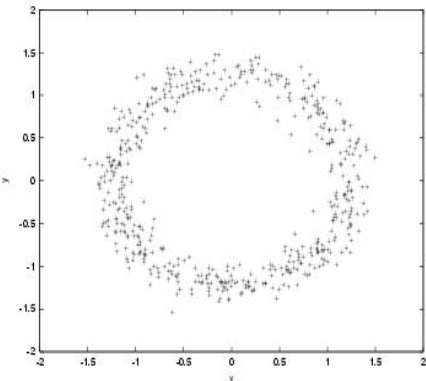
5. Aktive Bewegung in Potentialmulden



- Normal BM:
- Boltzmann df
- centered around the minimum of the potential
- Active BM: force equil.

$$m \frac{v_0^2}{r_0} = m \omega_0^2 r_0$$

$$v_0 = \omega_0 r_0$$



Kanonisch-diss Systeme (allgemein)



$$\frac{dp_i}{dt} = -\frac{\partial H}{\partial q_i} - g(H)\frac{\partial H}{\partial p_i} + (2D(H))^{1/2}\xi(t). \quad (13)$$

Here $\xi(t)$ is a delta-correlated white noise. The essential assumption is, that noise and dissipation depend only on H . The following Fokker-Planck equation corresponds to the Langevin equation

$$\frac{\partial \rho}{\partial t} + \sum p_i \frac{\partial \rho}{\partial q_i} - \sum \frac{\partial H}{\partial p_i} \frac{\partial \rho}{\partial p_i} = \sum \frac{\partial}{\partial p_i} \left[g(H) \frac{\partial H}{\partial p_i} \rho + D \frac{\partial \rho}{\partial p_i} \right]. \quad (14)$$

The special structure of the dissipative and noise terms permits to find exact stationary solutions in the following form

$$\rho_0(q_1 \dots q_f p_1 \dots p_f) = Q^{-1} \exp \left(- \int_0^H dH' \frac{g(H')}{D(H')} \right). \quad (15)$$

Dynamik ohne Rauschen



$$\text{Betrachte Pottopf } U(x_1, x_2) = \frac{1}{2}(a_1 x_1^2 + a_2 x_2^2)$$

$$m \frac{d}{dt} v_1 + a_1 x_1 = -m\gamma(v^2)v_1$$

$$m \frac{d}{dt} v_2 + a_2 x_2 = -m\gamma(v^2)v_2$$

Für $a_1 = a_2 = m\omega_0^2$ ist eine exakte Lösung der Grenzzyklus

$$x_1 = r_0 \cos(\omega_0 t + \psi)$$

$$x_2 = r_0 \sin(\omega_0 t + \psi)$$

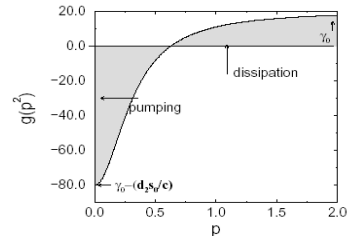
$$r_0 = v_0 / \omega_0$$

Für $a_1 \neq a_2$ komplizierte Lissajousfiguren

the characteristic velocity v_0
 = zero of friction = attractor of motion

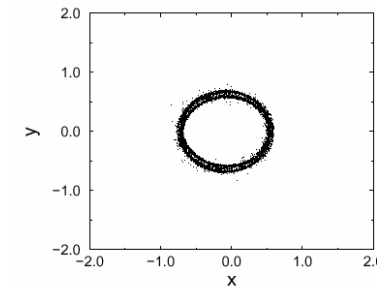


Depot model - SET



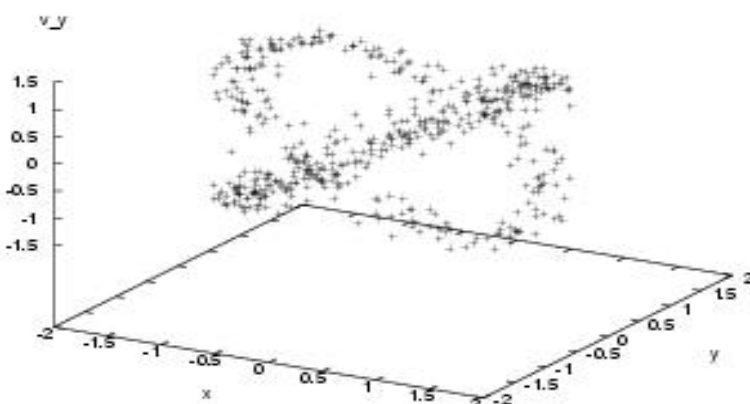
$$\text{Active friction: Zero of the velocity } v_0^2 = \frac{d}{c}\mu; \quad \mu = \frac{qd}{c\gamma_0} - 1$$

10000 aktive Teilchen um linear anzieh. Zentrum

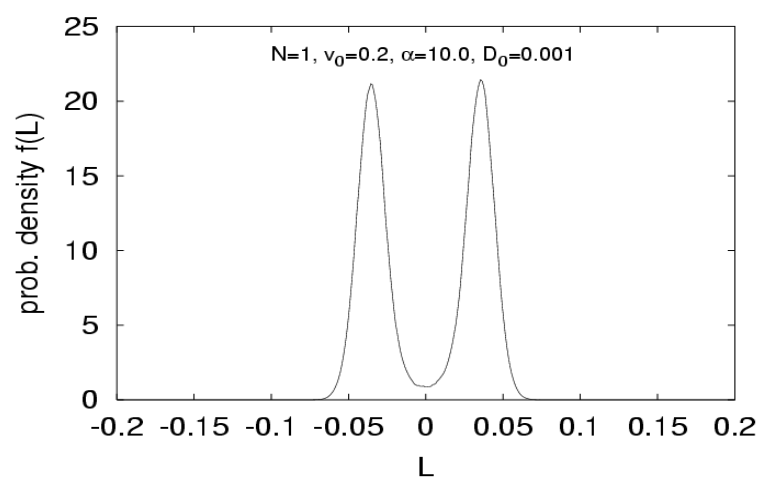


Swaest1.gif

Beobachte Grenzzyklen im Uhrzeiger
 und Anti-Uhrzeigersinn



Lösung der FPGI. $f(H, L)$



6. Aktive Bewegung in komplexen Potentialen



- 1. Studiere anharmonische, nicht radialsymmetrische Potentiale, stabile Lissajousfiguren, Arnold-Zungen
- aktive Bewegung auf Ratchets, geschlossene und offene stabile Trajektorien
- aktive Wellen auf Ketten, optische und solitonartige stabile Moden

Ratchets

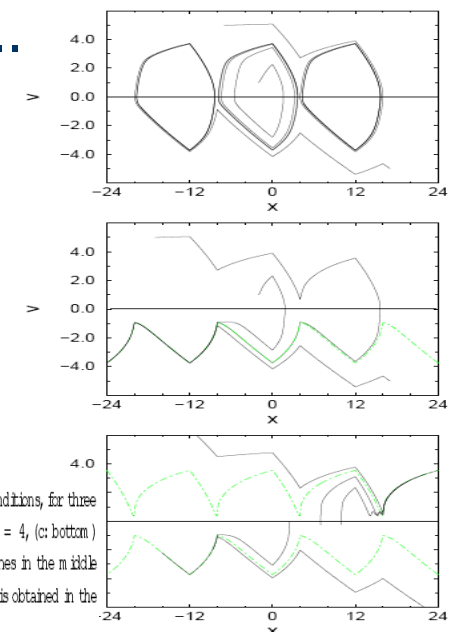
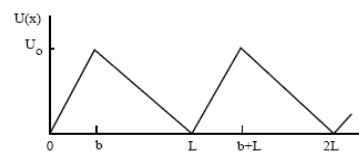


Figure 2: Phase-space trajectories of particles starting with different initial conditions, for three different values of the conversion parameter d_2 : (a: top) $d_2 = 1$, (b: middle) $d_2 = 4$, (c: bottom) $d_2 = 14$. Other parameters: $q_1 = 1$, $c = 0.1$, $\phi = 0.2$. The dashed-dotted lines in the middle and bottom part show the unbound attractor of the delocalized motion which is obtained in the long-time limit.

Nicht radialsymm Pot: Frequ.verh n=2,3

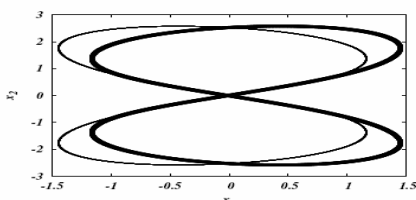


Fig. 2. Projections of the two limit cycles to the $\{x_1, x_2\}$ -plane corresponding to $m:n = 2$ resonance obtained from simulations (Rayleigh law: $\alpha = 5$, $\beta = 1$).

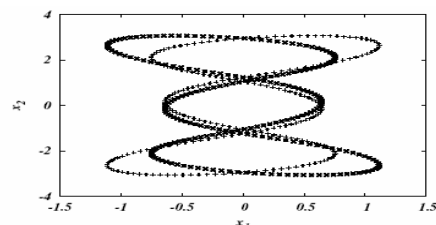


Fig. 6. Projections of the two limit cycles to the $\{x_1, x_2\}$ -plane corresponding to the $m:n = 3$ -resonance obtained from simulations ($\omega_1 = 2.7$, $\omega_2 = 1$, all other parameters as in Fig. 2).

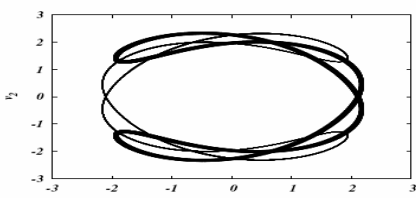


Fig. 3. Projections of the two limit cycles to the $\{v_1, v_2\}$ -plane corresponding to $m:n = 2$ to the $\{v_1, v_2\}$ -plane obtained from simulations (same parameters as in Fig. 2).

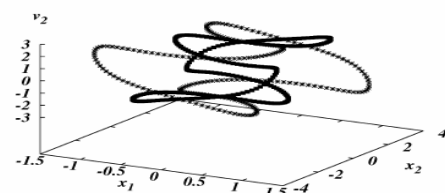
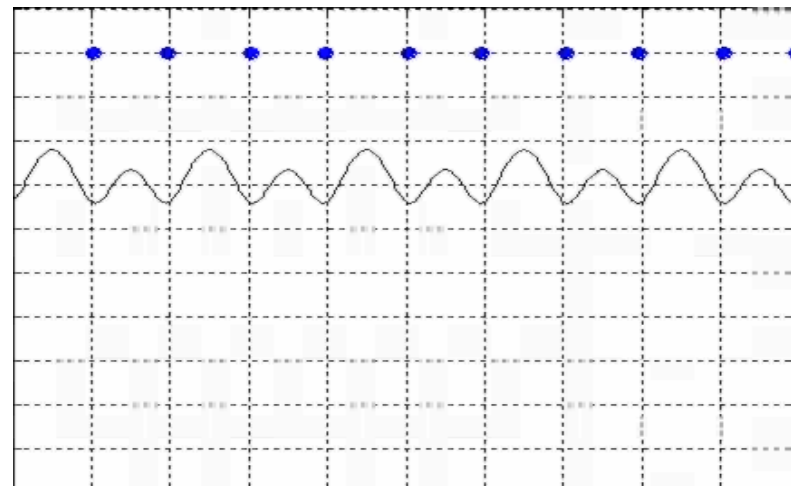
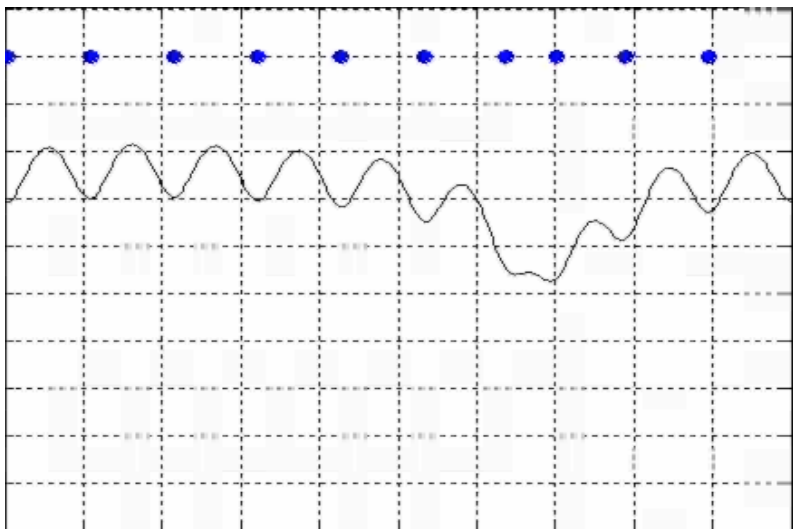


Fig. 7. Projections of the two limit cycles for $m:n = 3$ to the $\{x_1, x_2, v_2\}$ -plane obtained from simulations.

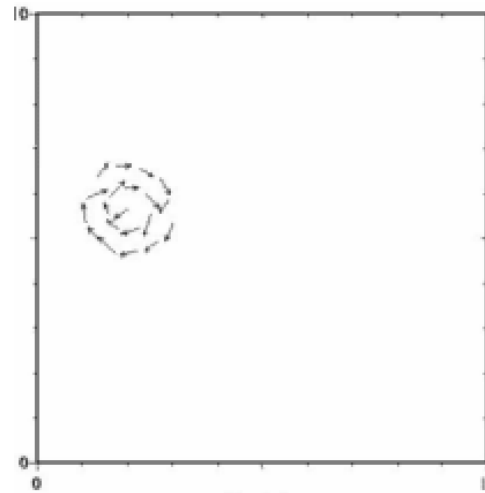
Nichtlineare Kette mit Antrieb



Angetriebene laufende Wellen: stabile dissipative Solitonen



rotating cluster of Morse particles:
bistability of L

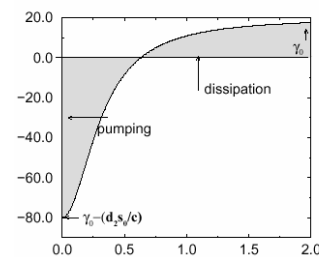


7. Schwärme aktiver Teilchen mit Wechselwirkung

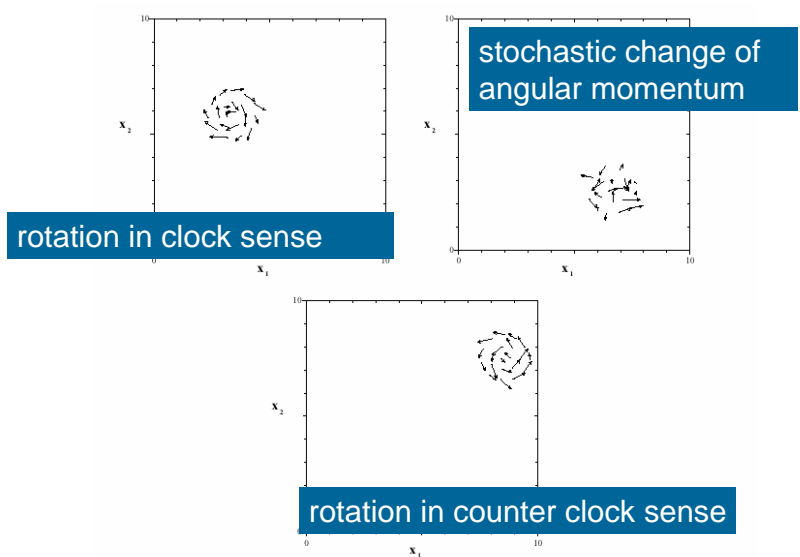


$$\frac{d}{dt}r_i = v_i; \quad \frac{d}{dt}v_i = -\gamma(v^2)v_i - \alpha r_i - \sum_j \frac{r_{ij}}{r_{ij}} \Phi'(r_{ij}) + \sqrt{2D_0}\xi_i(t)$$

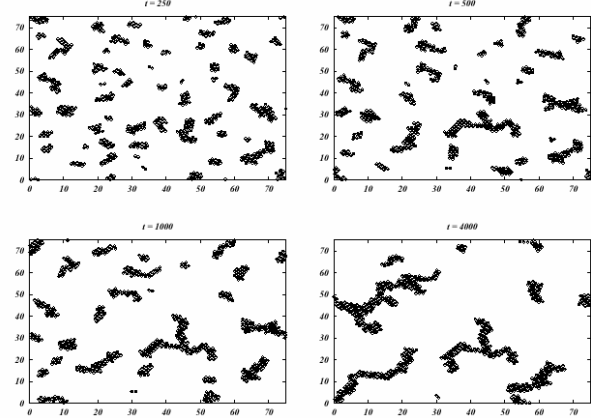
negative friction at small velocities



Cluster of ABT with Morse-inter



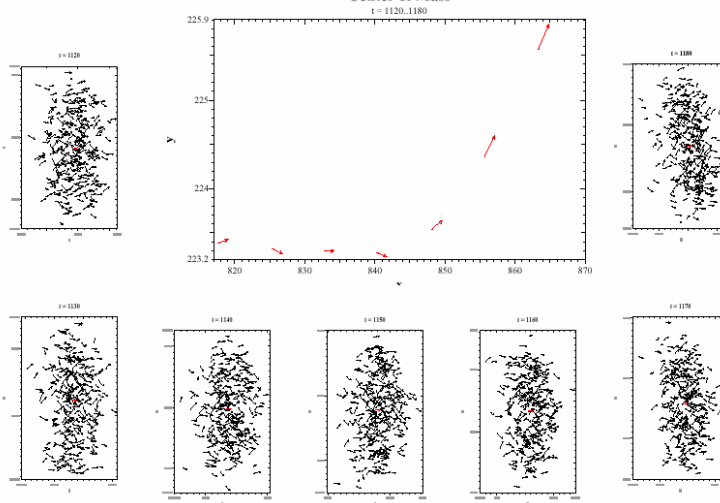
Cluster formation of ABT with Morse-int.



structures of amoeba kind show translations, rotations and stochastic change of forms

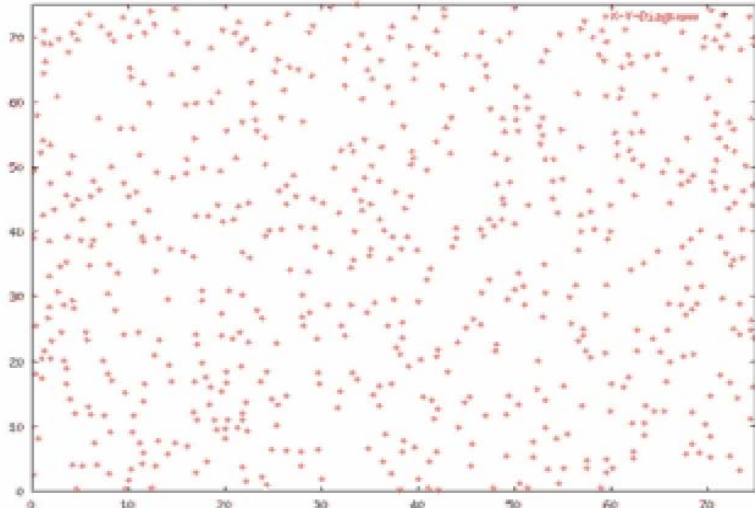


Center of Mass

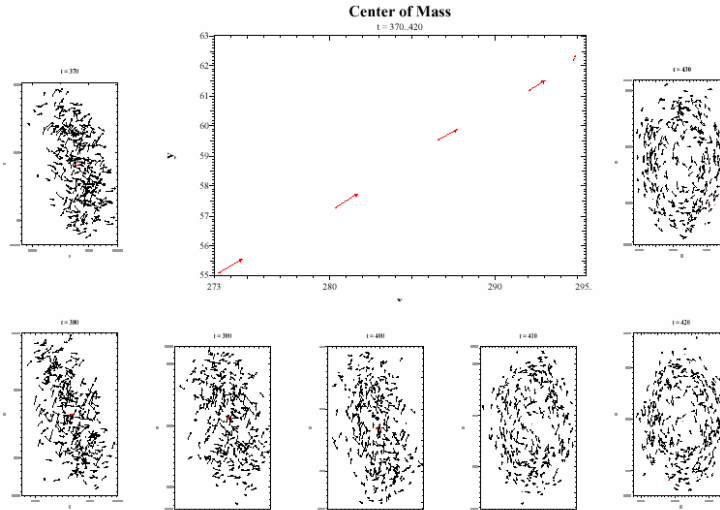


With Erdmann/Mikhailov (PRE 2005): translational mode

Cluster aktiver Partikel mit WW

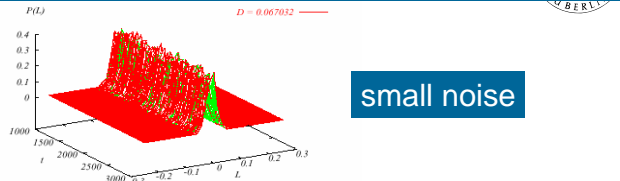


With Erdmann/Mikhailov: noise induced phase transition:



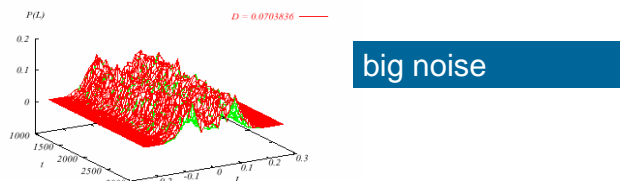
translation comes to stop --> rotational mode

with increasing noise occurs a transition from translation (no angular momentum) to rotation (bistable angular momentum)



small noise

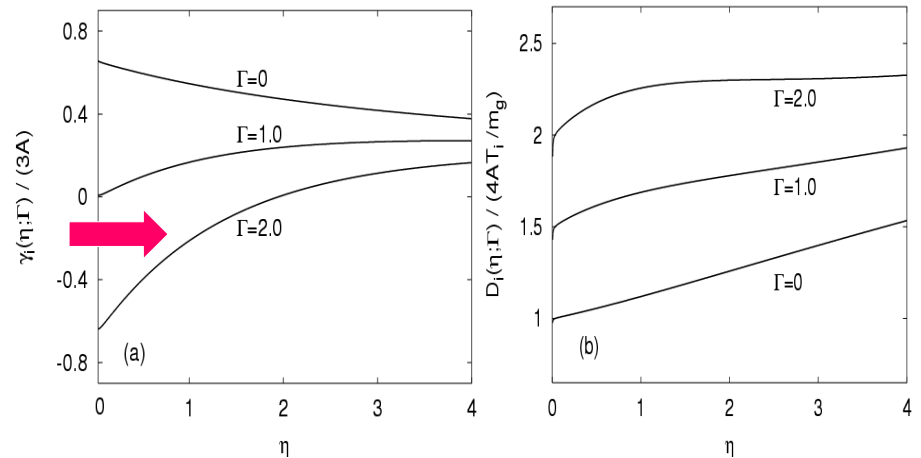
FIG. 7: Time evolution of the angular momentum distribution with a strength of the fluctuations before the critical one.



big noise

FIG. 8: Time evolution of the angular momentum distribution beyond the critical noise strength

Fkt aktive Reibung + Diffusion für Staubplasmen (Trigger/Zagorodny 2003)



8. Dynamik geladener Teilchen



→ Two charged Brownian particles in parabolic confinement

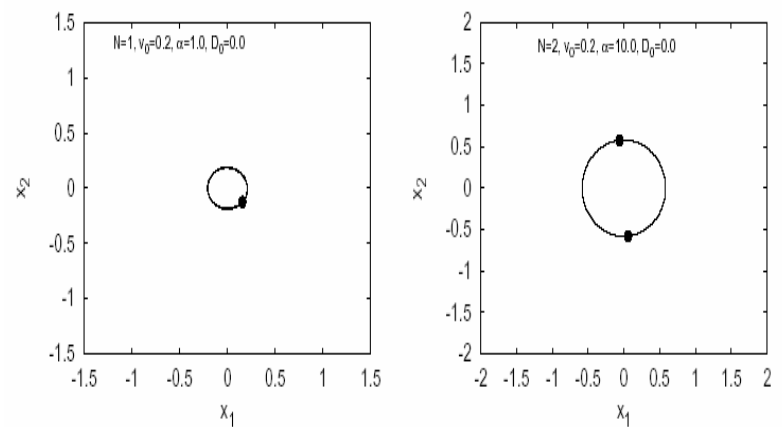
$$H = \frac{m}{2} \mathbf{v}_1^2 + \frac{m}{2} \mathbf{v}_2^2 - \frac{m\omega_0^2}{2} \mathbf{r}_1^2 - \frac{m\omega_0^2}{2} \mathbf{r}_2^2 + \frac{e^2}{|\mathbf{r}_1 - \mathbf{r}_2|}$$

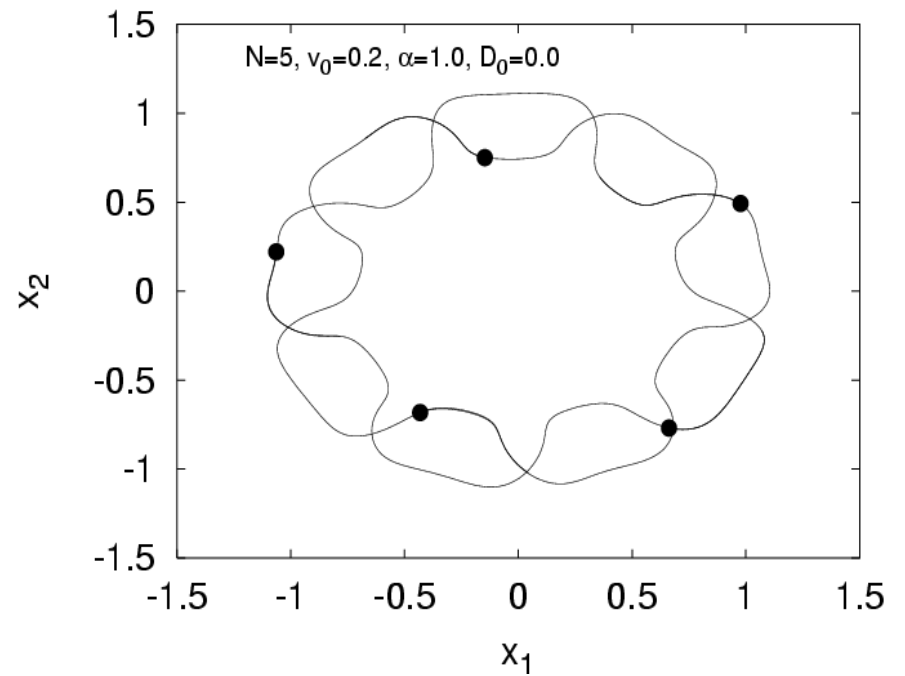
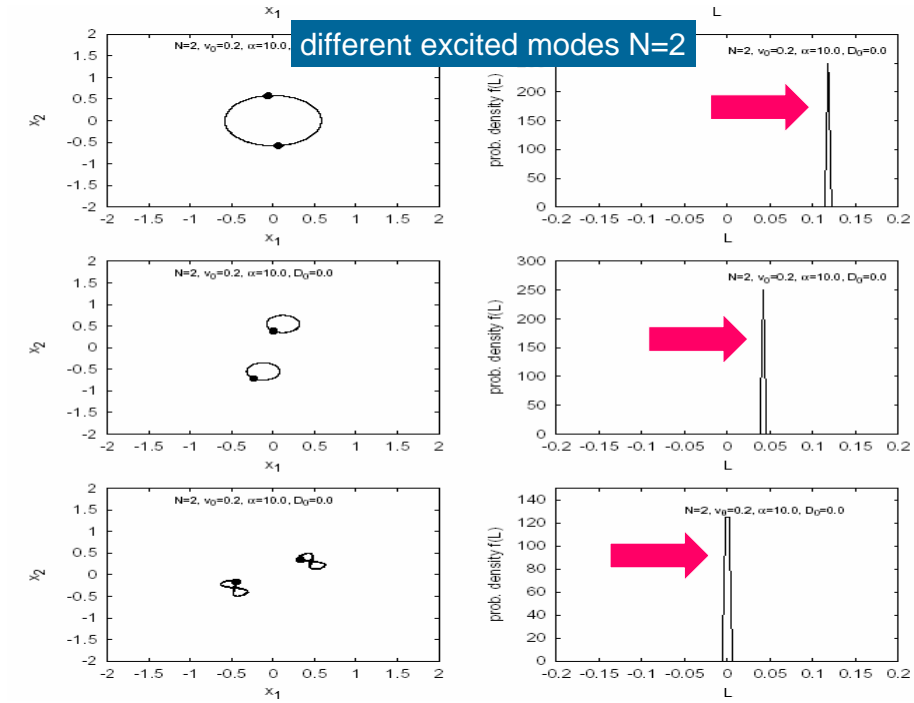
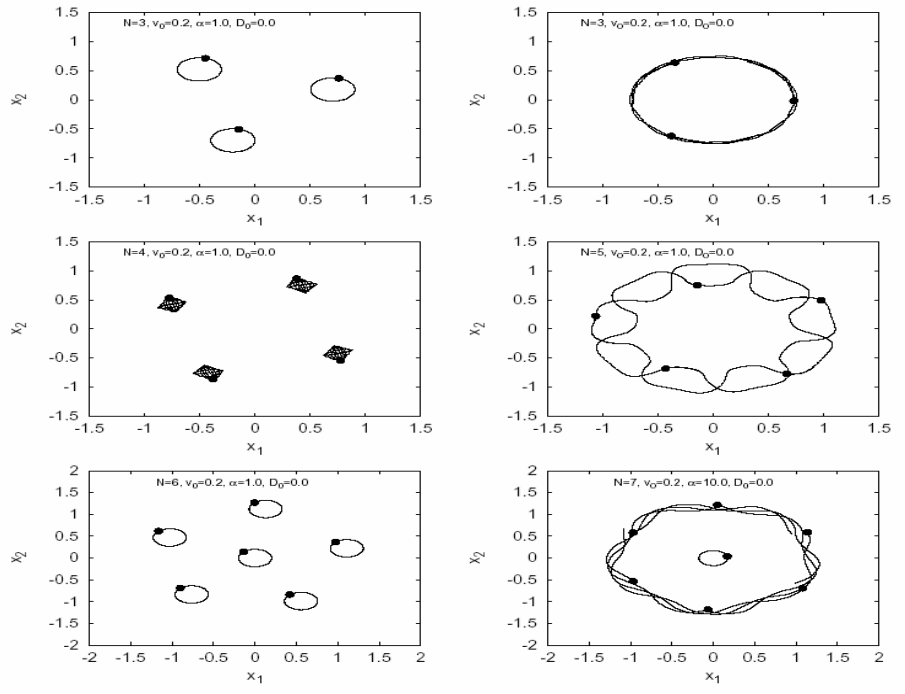
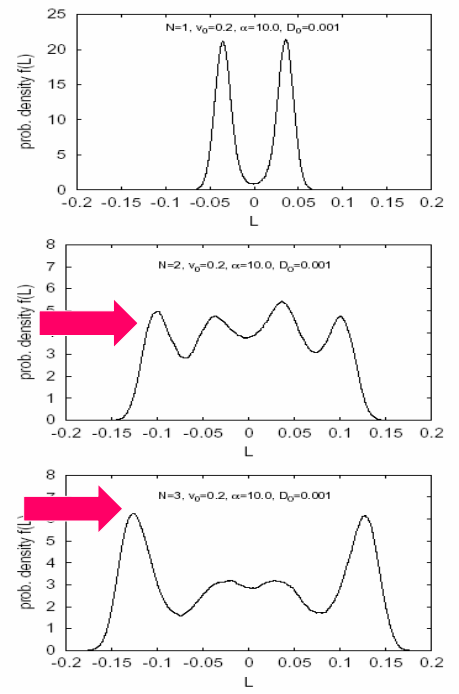
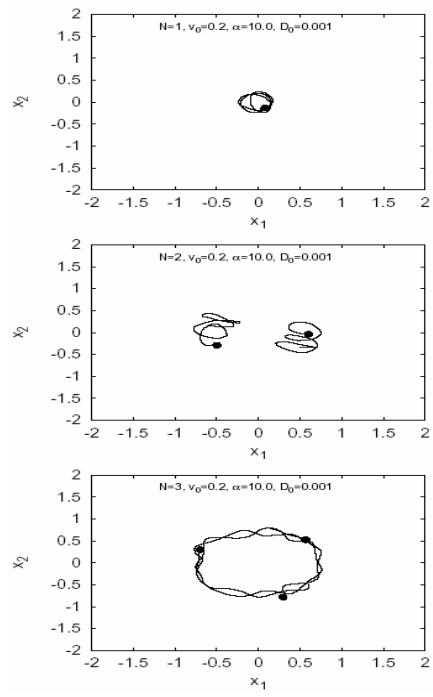
Equilibrium (no driving):

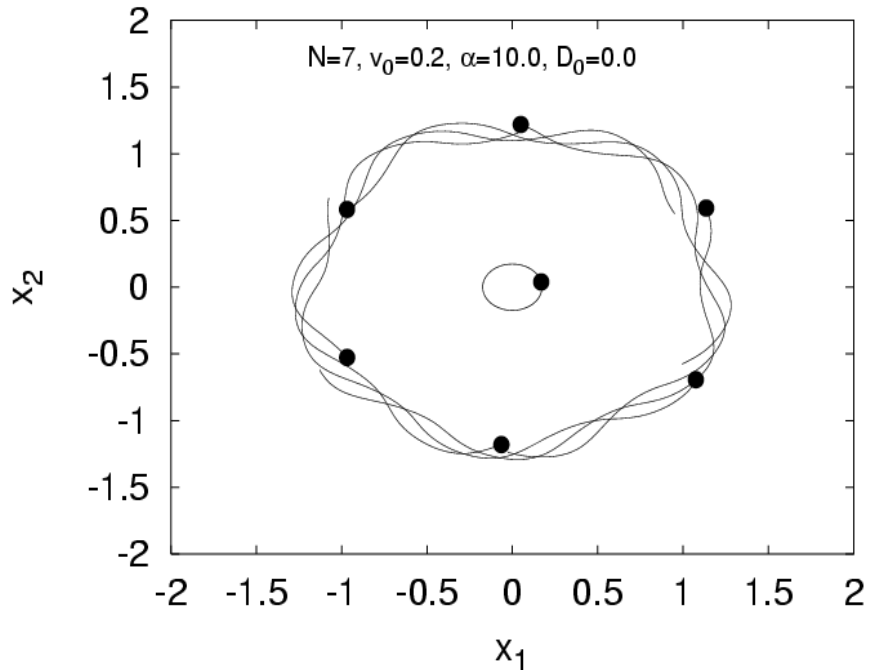
$$\rightarrow r_0 = \left[\frac{e^2}{2m\omega_0^2} \right]^{1/3}$$

rotations: no threshold, require only kinetic energy!
oscillations: require kinetic + potential energy!

Study 1 or 2 charged particles with negative friction: limit cycles







Bewegungsgl. Für die dissipativ getriebenen
Ionen (oben) und "Elektronen" (unten)



$$\frac{d}{dt}x_k = v_k, \quad (2a)$$

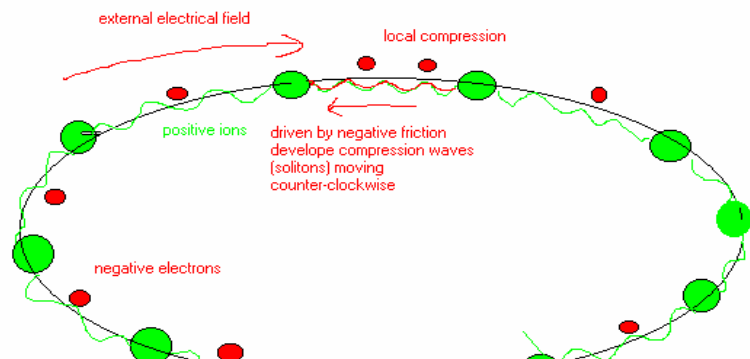
$$m \frac{dv_k}{dt} + \frac{\partial U}{\partial x_k} = e_k E + F(v_k) + \sqrt{2D_k} \xi_k(t), \quad (2b)$$

$$U_e(y_j, x_k) = \frac{(-e)e_k}{\sqrt{(y_j - x_k)^2 + h^2}}, \quad (6)$$

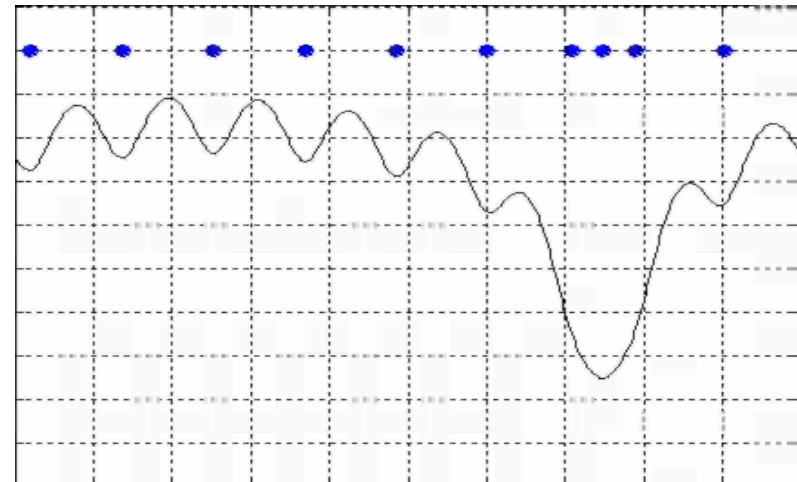
$$\frac{d}{dt}y_j = v_j, \quad (7a)$$

$$m_e \frac{d^2}{dt^2} y_j + \frac{\partial U_e}{\partial y_j} = -eE - m_e \gamma_e v_j + \sqrt{2D_e} \xi_j(t), \quad (7b)$$

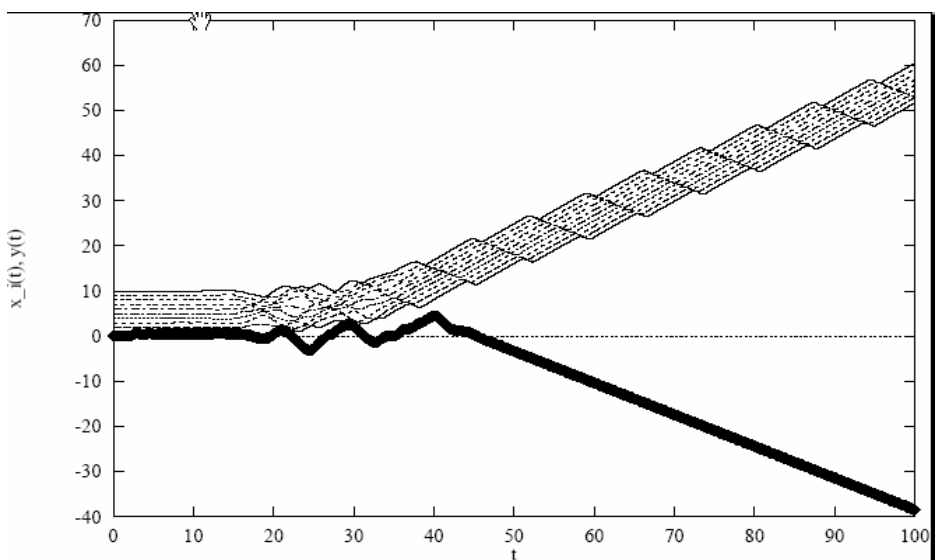
9. Geladene Teilchen in WW mit getriebenen nichtlinearen Gitterschwingungen (mit Velarde/Chetverikov/Makarov UC Madrid)



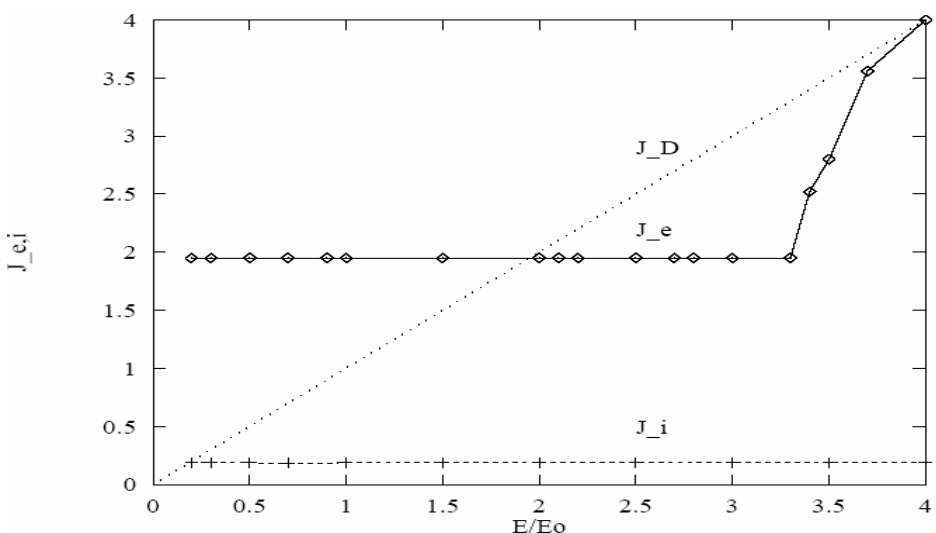
Elektrisches Potential erzeugt
durch solitäre Anregungen



Die "Elektronen" können durch Solitonen (lokale Kompress -> Pottopf) eingefangen werden



Electron. Strom (soliton-driven) und ion.
Strom vgl. mit Drude Strom (nichtlin Char)



Einige Referenzen

- Phys. Rev. Lett. **80**, 5044-5047 (1998) w S&T
- BioSystems **49**, 5044-5047 (1999) "
- Physica A **273**, 294 (1999) "
- Eur. Phys. Journal B **15**, 105-113 (2000)
- Phys. Rev. E **64**, 021110 (2001); **65**, 061106 (2002); **67**, 046403 (2003)
- Schweitzer: Brownian agents ... (2003)
- Phys.Rev.E (2004) with Dunkel/Trigger
- Eur. Phys. J. (2005) with Chet&Velarde
- Eb/Sokolov: Stat.TD+Stoch., Singapore2005



10. Zusammenfassung

- Neue Modelle der aktiven Brownschen Bewegung zeigen sehr komplexes dynamisches Verhalten
- Typische Phänomene der individuellen Bew.: Schwing., Rotationen, ...
- Typische kollektive Bew.: Schwarmbildung, Clustering, kollektive Translationen, Rotationen,
- Neue Anwendungen: Physik, Biologie, sozio-ökonomische Systeme ?

